

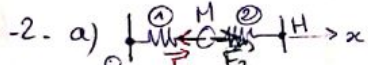
REVISIONS ETE

Mécanique

1. Mvt circulaire uniforme $\dot{\theta} = \omega$ $v = R\omega = ct$
 $\vec{OM} = R\vec{e}_r$ $\vec{v} = R\omega \vec{e}_\theta$ $\vec{a} = -R\omega^2 \vec{e}_r = -\frac{v^2}{R} \vec{e}_r$

mvt non uniforme circulaire : $v = R\omega(t)$

$$\vec{OM} = R\vec{e}_r \quad \vec{v} = R\omega(t)\vec{e}_\theta \quad \vec{a} = -R\omega^2 \vec{e}_r + R\dot{\omega}\vec{e}_\theta = -\frac{v^2}{R} \vec{e}_r + \frac{dv}{dt} \vec{e}_\theta$$



$$\vec{F}_1 = -k(x - l_0) \vec{e}_x \quad \vec{F}_2 = k(h - x) \vec{e}_x \quad \rightarrow \vec{F}_{tot} = k(h + l_0 - 2x) \vec{e}_x$$

b)
 $\vec{F}_1 = k(x_2 - x_1 - l_0) \vec{e}_x \quad \vec{F}_2 = -k(x_2 - x_1 - l_0) \vec{e}_x$

c)
 $\vec{F}_1 = -k(x - h - l_0) \vec{e}_x \quad d) \quad \vec{F}_1 = -k(z - l_0) \vec{e}_z$

e)
vecteur $\vec{M}_1 \vec{M}_2 \rightarrow$ direction de la force
 $\vec{F}_1 = k(M_1 M_2 - l_0) \frac{\vec{M}_1 \vec{M}_2}{\|\vec{M}_1 \vec{M}_2\|}$ $\vec{M}_1 \vec{M}_2 = \begin{pmatrix} x_2 - x_1 \\ 0 \\ z_2 - z_1 \end{pmatrix} \quad \vec{F}_2 = -k(M_1 M_2 - l_0) \frac{\vec{M}_1 \vec{M}_2}{\|\vec{M}_1 \vec{M}_2\|}$

3.
 α * Approche énergétique
 $E_p = -mgx = -mgl \cos \theta$ $E_c = \frac{1}{2}mv^2 = \frac{1}{2}m(l\dot{\theta})^2$
TEM $\frac{dE_m}{dt} = -h v^2 = -h(l\dot{\theta})^2$
 $+mgl \ddot{\theta} \sin \theta + ml^2 \ddot{\theta} = -h l^2 \ddot{\theta}$
 $\Leftrightarrow \ddot{\theta} + \frac{h}{m} \dot{\theta} + \frac{g}{l} \sin \theta = 0$

* loi du mvt des réf cylindriques : TMC
 $J = ml^2$ tension du fil \rightarrow moment nul moment pendo. $-l \sin \theta mg \vec{i}_z$ moment frett. $-h l^2 \dot{\theta} \vec{i}_y$

$$\ddot{\theta} = -l \sin \theta mg - h l \ddot{\theta} \Leftrightarrow \ddot{\theta} + \frac{h}{m} \dot{\theta} + \frac{g}{l} \sin \theta = 0$$

b) régime pseudo-périodique

condition $\frac{h^2}{m^2} - 4 \frac{g}{l} < 0 \Leftrightarrow h < \sqrt{4 \frac{m^2 g}{l}}$

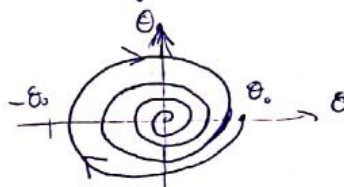
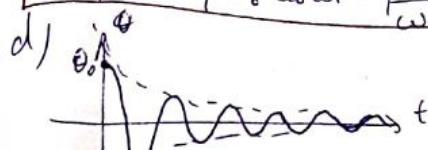
c) petits angles $\sin \theta \approx \theta$ $\theta(t) = e^{-\beta t} (A \cos \omega t + B \sin \omega t)$

$\dot{\theta}(t) = -\beta e^{-\beta t} (A \cos \omega t - B \omega \sin \omega t)$

$$\beta = \frac{h}{2m} \quad \omega = \sqrt{\frac{4q}{l^2} - \frac{h^2}{m^2}}$$

$$\dot{\theta}(t) = -\beta e^{-\beta t} (A \cos \omega t + B \sin \omega t) + e^{-\beta t} (-A \omega \sin \omega t + B \omega \cos \omega t)$$

$\dot{\theta}(t) = e^{-\beta t} / (A \cos \omega t - \frac{\beta}{\omega} B \sin \omega t)$



4.

a) $m\ddot{x} = -k(x - l_0) - \lambda \dot{x} + F_c \Leftrightarrow \ddot{x} + \frac{\lambda}{m} \dot{x} + \frac{k}{m} x = \frac{F_c}{m} + \frac{kl_0}{m}$

$$\ddot{x} + \omega_0^2 \dot{x} + \omega_0^2 x = \omega_0^2 X_0 \quad \frac{\omega_0}{Q} = \frac{\lambda}{m} \rightarrow Q = \frac{m\omega_0}{\lambda} = \frac{m\sqrt{\frac{k}{m}}}{\lambda\sqrt{m}} = \sqrt{\frac{km}{\lambda}}$$

pseudo-périodique

$$x(t) = X_0 + e^{-\beta t} (A \cos \omega t + B \sin \omega t)$$

$$\omega_0^2 = \frac{k}{m} \quad X_0 = l_0 + \frac{F_c}{k}$$

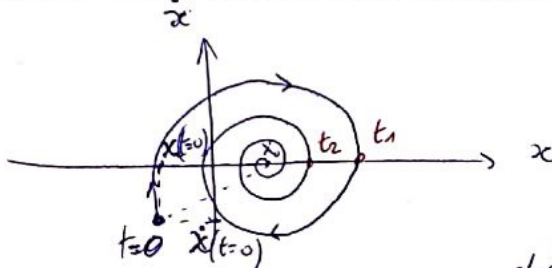
Sol de l'eq homogène

$$r^2 + \frac{\omega_0^2}{Q} r + \omega_0^2 = 0 \quad \Delta = \frac{\omega_0^2}{Q^2} - 4\omega_0^2 < 0 \text{ on prend } \omega_0^2 - \frac{\omega_0^2}{Q^2}$$

$$\Omega = \sqrt{\omega_0^2 - \frac{\omega_0^2}{4Q^2}} = \omega_0 \sqrt{1 - \frac{1}{4Q^2}}$$

$$x(t) = X_0 + e^{-\frac{\omega_0 t}{2Q}} A \cos(\Omega t + \varphi)$$

Ex)



$$X_0 \text{ pt attracteur} \\ x(t=0) \text{ coord pt de départ.} \\ \Omega = \frac{2\pi}{t_2 - t_1} = \frac{2\pi}{T}$$

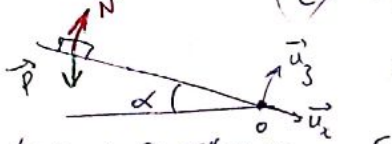
il faut déterminer φ .

$$\text{décroissance logarithmique} \quad \delta = \ln \left(\frac{x(t) - X_0}{x(t+T) - X_0} \right)$$

$$\delta = \ln \left(\frac{e^{-\frac{\omega_0 t}{2Q}}}{e^{-\frac{\omega_0 t}{2Q}} \cdot e^{-\frac{\omega_0 T}{2Q}}} \right) = \frac{\omega_0 T}{2Q} = \frac{T}{C}$$



5-



$$t=0, \text{ en } O \text{ vitesse } v_0 \quad E_m = \frac{1}{2} m v_0^2 + E_r \\ E_m = \text{cte au cours du mouvement.}$$

$$\vec{P} = -mg \cos \alpha \vec{u}_3 + mg \sin \alpha \vec{u}_x$$

$$\vec{N} = mg \cos \alpha \vec{u}_3 \quad \text{distance parcourue}$$

$$E_{pmax} = \frac{1}{2} m v_0^2 = mg d_{max}$$

$$d_{max} = \frac{v_0^2}{2g \sin \alpha}$$

6- Pour modifier l'énergie cinétique d'une particule \rightarrow ch. électrique
Pour couler la trajectoire sans fournir d'énergie \rightarrow ch. magnétique ($\vec{F} \perp \vec{v}$)

$$\text{7.9) La Terre } J = \frac{1}{3} M_T R_T^2 \quad \text{G} \quad J = \frac{1}{3} \cdot 6 \cdot 10^{24} \cdot (6,4 \cdot 10^6)^2 = 82 \cdot 10^{24+12} = \frac{8,2 \cdot 10^{37}}{\text{kg} \cdot \text{m}^2} \text{ moment cinétique } J \dot{\theta} \quad \dot{\theta} = \frac{2\pi}{T} = \frac{2\pi}{24 \cdot 60 \cdot 60} \quad L_{exc} \approx 6 \cdot 10^{33} \text{ kg} \cdot \text{m}^2 \cdot \text{s}^{-1}$$

$$\text{8) } r_0 = 53 \text{ pm} = 53 \cdot 10^{-12} \text{ m} \quad \text{modèle de Bohr} \quad L_e = r_0^2 \cdot \omega \cdot m_e = (53 \cdot 10^{-12})^2 \cdot 2\pi \cdot 6,6 \cdot 10^{15} \cdot 9,1 \cdot 10^{-31} = 1 \cdot 10^{6-24+15-31} = 10^{-34} \text{ kg m}^2 \text{ s}^{-1}$$

c) machine à lancer

$$J = 0,9 \text{ m} R^2 \quad \omega = 1000 \text{ tr/min} = \frac{1000 \cdot 2\pi}{60} \text{ rad/s}$$

$$L_{mach} = J \omega = 0,9 \cdot 5 \cdot 0,25 \cdot \frac{1000 \cdot 2\pi}{60} = \frac{30 \text{ kg m}^2 \text{ s}^{-1}}{60}$$

$$\begin{aligned} E_p &= 0; r = R_T \\ EF: E_p &= 0 \quad r = R_T \\ \frac{1}{2} m v_L^2 - \frac{m M_T G}{R_T} &= 0 \end{aligned}$$

$$\Leftrightarrow v_L = \sqrt{\frac{2 M_T G}{R_T}} \quad \text{A.N.: } v_L \approx 112 \text{ km/s}$$

9. a) Ref géocentrique

$$\text{b) satellite sur orbite stable: } r = R_T \quad \vec{a} = -\frac{m v_L^2}{R_T} \vec{e}_r = -\frac{m M_T G}{R_T^2} \vec{e}_r \\ \Leftrightarrow v_L = \sqrt{\frac{M_T G}{R_T}} \quad E_m = -\frac{m M_T G}{R_T} + \frac{1}{2} m \frac{M_T G}{R_T} = -\frac{m M_T G}{2 R_T}$$

$$\text{A.N.: } E_m = -50 \cdot 6400 \cdot 10^3 \cdot 9,8 = 3 \cdot 10^5 \text{ J.}$$

$$\text{c) énergie initiale } E_p + E_{kin} \text{ due à la rotation de la Terre} \quad \frac{m v_L^2}{2} \text{ avec } v_L \text{ dépendant de la latitude} \\ \text{A Paris: } E_m - (E_p + E_{kin}) \approx 3 \cdot 10^9 \text{ J.} \\ \text{d) satellite géostationnaire} \\ \text{orbite du plan équatorial} \\ \text{Il faut lancer vers l'Est pour utiliser Kourou + proche.}$$

10 - déphasage L, $f = 440 \text{ Hz}$, $A = 0,5 \text{ mm}$ amplitude

$$\begin{aligned} \text{a)} \text{vitesse max de l'extremité} &= A\omega = A \cdot 2\pi f = 1,4 \text{ m/s} \\ \text{b)} \text{accélération max} &= A\omega^2 = A(2\pi f)^2 = 38 \cdot 10^3 \text{ m/s}^2 \end{aligned}$$

$$\begin{aligned} \xi &= A \cos(\omega t) \\ v &= -A\omega \sin(\omega t) \\ a &= -A\omega^2 \cos(\omega t) \end{aligned}$$

11. $\underline{u}(t) = u_0 \cos(2\pi\omega t)$

$$\xrightarrow[R=10\Omega]{L} i(t) = i_0 \cos(2\pi\omega t + \varphi)$$

$$\underline{i}(t) = i_0 e^{j(2\pi\omega t + \varphi)}$$

$$\underline{u} = \underline{\underline{i}}$$

$$\underline{\underline{z}} = \frac{\underline{u}}{\underline{i}} = \frac{u_0}{i_0} e^{-j\varphi}$$

$$(c) \underline{\underline{z}} = R + jL\omega$$



$$d) M_0 \cos \varphi = R i_0 \Rightarrow \cos \varphi = \frac{R i_0}{M_0} = \frac{49 \cdot 0,4}{2,9} = 0,8$$

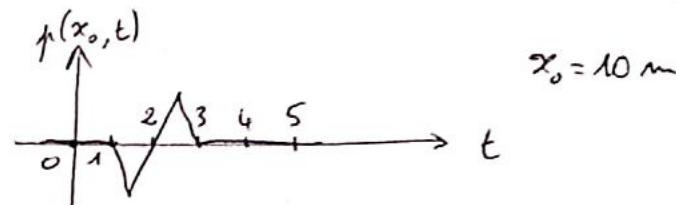
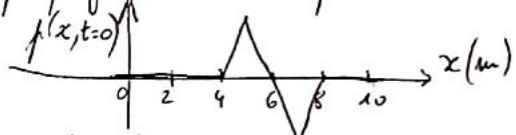
$$12 - a) S_1(t) = S_1 \cos(\omega t)$$

b) S_2 en quadrature de phase : $S_2(t) = S_2 \sin(\omega t)$ ou $S_2(t) = -S_2 \sin(\omega t)$

$$b) \begin{array}{l} S_2 \\ \diagdown \\ S_1 + S_2 \\ \diagup \\ S_1 \end{array} \quad \text{amplitude de } S_1 + S_2 : \sqrt{S_1^2 + S_2^2} \quad (c) \text{ si } S_1 = S_2 \\ (\text{Pythagore}) \quad \text{l'amplitude de } S_1 + S_2 \text{ est } \frac{S_1 \sqrt{2}}{2}. \end{math>$$

$$d) S_1 + S_2 = S_1 \cos(\omega t) + S_1 \cos(\omega t + \frac{\pi}{2}) = S_1 \cos(\omega t) - S_1 \sin(\omega t) = S_1 \sqrt{2} \cos(\omega t + \frac{\pi}{4})$$

13 - propagation non dispergée $c = 2 \text{ m/s}$



$$f(x, t) = f(x_0 - ct) = f(x_0 - c t, 0)$$

14 - Interférence

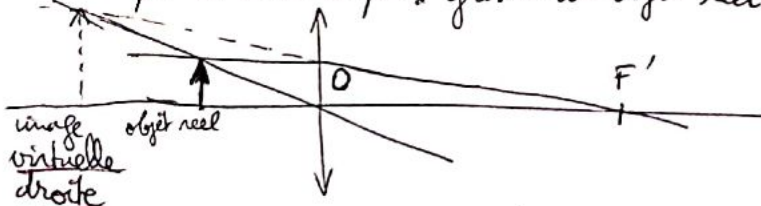
a) le système étudié possède une symétrie de révolution autour de l'axe $S_1 S_2$. la figure d'interférence sera des cercles concentriques centrés sur C.

b) vibrations émises en phase. En C, sa dépendance !

le point C sera un lieu d'interférences constructives si la distance $S_1 S_2$ est un multiple entier de la longueur d'onde λ ; destructives si $S_1 S_2$ vaut $m\lambda + \frac{\lambda}{2}$.

$$S_1 S_2 = m\lambda \quad m \in \mathbb{N}$$

15 - Principe d'une loupe : grossir un objet réel

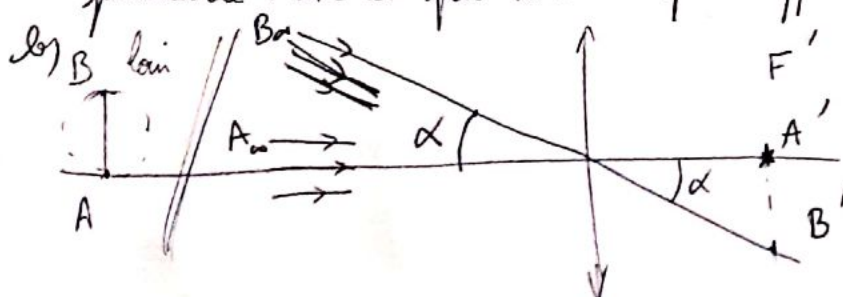


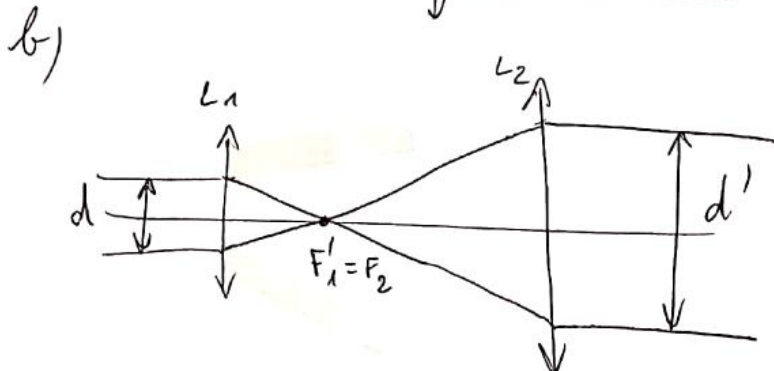
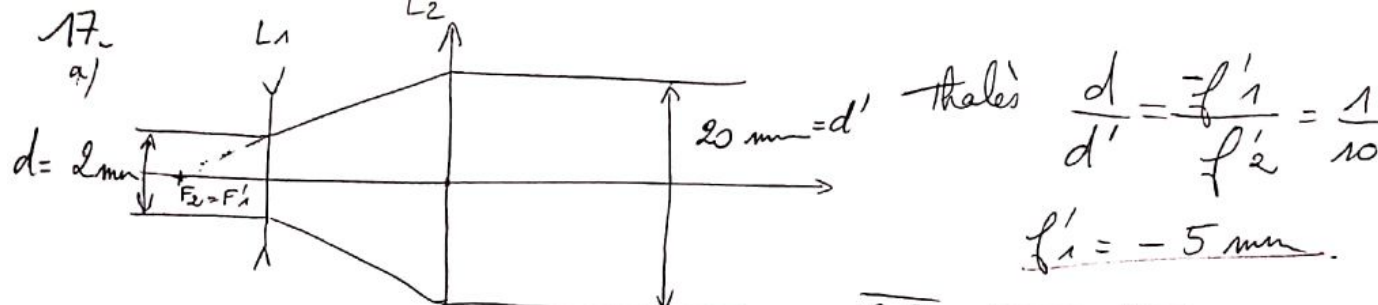
Effet loupe:
il faut que l'objet soit entre le foyer objet et la lentille.

16 - a) conditions de Bours : on se limite aux rayons paraxiaux c'est à dire aux rayons proches de l'axe et peu inclinés par rapport à l'axe.

$$\alpha \approx \tan \alpha = \frac{A'B'}{f'}$$

$$A'B' = \alpha \cdot f'$$





$$\overline{O_1 O_2} = \overline{O_1 F_1'} + \overline{F_2 O_2} = -5 + 50 = 45 \text{ mm}$$

$$f_1' + f_2'$$

$$\frac{d}{d'} = \frac{f_1'}{f_2'} = \frac{1}{10}$$

$$f_1' = 5 \text{ mm}$$

$$\overline{O_1 O_2} = f_1' + f_2' = 5 + 50 = 55 \text{ mm}$$

18. Laser $\Delta E = 2,28 \text{ eV} = h\nu = \frac{hc}{\lambda}$

$$\Delta E = 2,28 \cdot 1,6 \cdot 10^{-19} \text{ J}$$

$$\lambda = \frac{hc}{\Delta E} = \frac{6,62 \cdot 10^{-34} \text{ J.s}}{2,28 \cdot 1,6 \cdot 10^{-19}} = 5,4 \cdot 10^{-7} \text{ m} = 540 \text{ nm}$$

19. $\lambda_{DB} = \frac{h}{p}$ a) homme $75 \text{ kg}, 5 \text{ km/h}$

$$p = 75 \cdot \frac{5000}{3600} \text{ kgms}^{-1} \quad \therefore \lambda_{DB} = \frac{6,6 \cdot 10^{-34} \cdot 3,6}{75 \cdot 5} = 6,3 \cdot 10^{-36} \text{ m}$$

aucun risque de diffracter par une porte (même en vitesse)

b) électron. on veut $\lambda_{DB,e} = 0,1 \text{ nm}$ soit $p = \frac{h}{\lambda} = \frac{6,6 \cdot 10^{-34}}{1 \cdot 10^{-10}} = 6,6 \cdot 10^{-24} \text{ kg.m.s}^{-1}$

hypothèse e- non relativiste $p = mv \rightarrow v = \frac{p}{m} = \frac{6,6 \cdot 10^{-24}}{9,1 \cdot 10^{-31}} = 7,2 \cdot 10^6 \text{ m.s}^{-1} \ll c$ hyp OK

donc il faut leur communiquer une énergie $E = \frac{1}{2}mv^2 = 2,4 \cdot 10^{-17} \text{ J} = 147 \text{ eV}$

c) $E_c = 100 \text{ eV}$ électron $\lambda_{DB} = \frac{h}{\sqrt{2m_e E_c}} = 1,2 \cdot 10^{-10} \text{ m} = 0,12 \text{ nm}$

$E_c = \frac{e^2}{4\pi \epsilon_0 m} (\text{non relativiste})$ proton $\lambda_{DB} = \frac{h}{\sqrt{2m_p E_c}} = 2,9 \cdot 10^{-12} \text{ m} = 2,9 \text{ pm}$

20. a) $r \sim 10^{-10} \text{ m} \rightarrow$ Heisenberg $\Delta x \Delta p \geq \hbar$ b) un tour $= 2\pi r = n\lambda = \frac{n\hbar}{p}$ c) $r = \frac{n\hbar}{p}$ d) $r_m = \frac{n\hbar}{C_p}$ $\Rightarrow r_m = \frac{n^2 \hbar^2}{C_p^2}$

le rayon r_m varie en n^2 . e) $E_m = E_p + E_c = \frac{E_p}{2} - \frac{E_c}{2} = \frac{p^2}{2m}$ varie en $\frac{1}{n}$ donc en $\frac{1}{n^2}$

résultat correct (formule de Rydberg)

21. Modèle de Thévenin

$$u = e - ri$$

$$\Rightarrow r = 10 \Omega \text{ et } e = 22 + 10 \cdot 2 = 42 \text{ V}$$

on cherche la droite passant par les 2 pts donnés

$$\begin{cases} u_1 = e - r i_1 \\ u_2 = e - r i_2 \end{cases}$$

$$u_1 - u_2 = r(i_2 - i_1)$$

$$r = \frac{u_1 - u_2}{i_2 - i_1} = \frac{30 - 22}{2 - 1,2} = \frac{8}{0,8} = 10 \Omega$$

Dans la seconde expérience, puissance fournie : $P_f = u \cdot i = 30 \cdot 1,2 = 36 \text{ W}$

puissance perdue par effet Joule : $P_J = r i^2 = 10 \cdot 1,2^2 = 14,4 \text{ W}$

22.
 $i = \frac{E}{R+R_0}$
 $P_{disg} = R i^2 = \frac{RE^2}{(R+R_0)^2}$
 $\frac{dP}{dR} = \frac{E^2}{(R+R_0)^2} + \frac{RE^2 \cdot (2)}{(R+R_0)^3} = \frac{E^2}{(R+R_0)^3} (R+R_0 - 2R) = \frac{E^2 (R_0 - R)}{(R+R_0)^3}$

$$P_{disg} = \frac{E^2}{4R}$$

$$\text{et } P_{disg} = \frac{E^2}{R}$$

rendement $\eta = \frac{P_f}{P_{disg}} = \frac{36}{14,4} = 0,25 = 25\%$

Scanné avec CamScanner

23- 

a) $E = u_R + u_C = Ri + \frac{q}{C}$ avec $i = \frac{dq}{dt}$

$$\frac{dq}{dt} + \frac{q}{RC} = \frac{E}{R}$$

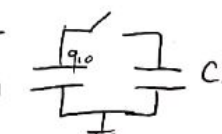
à $t=0$, $q=0$ solution $q(t) = CE + \lambda e^{-t/RC}$

$q(t=0) = 0 = CE + \lambda \Rightarrow \lambda = -CE$ sd part. sol de l'éq. homogène

$$q(t) = CE(1 - e^{-t/RC})$$


b) au bout de $3C$ le condensateur est chargé à $95\% = 1 - e^{-3} = 95\%$

c) à la fin de l'opération, la charge du condensateur est CE
Soit une énergie emmagasinée de $\frac{1}{2}CE^2$

24- 

a) Énergie emmagasinée : $\frac{1}{2} \frac{q_{10}^2}{C_1} = W_i$

b) interrupteur fermé équilibre des condensateurs pour U_f
tel que $q_1 + q_2 = q_{10}$ et $U_f = \frac{q_1}{C_1} = \frac{q_2}{C_2} \Leftrightarrow \frac{q_1}{C_1} = \frac{q_{10} - q_1}{C_2} \Leftrightarrow q_1 \left(\frac{1}{C_1} + \frac{1}{C_2} \right) = \frac{q_{10}}{C_2}$

$$\Leftrightarrow q_1 = \frac{C_1}{C_1 + C_2} q_{10}; q_2 = \frac{C_2}{C_1 + C_2} q_{10}$$

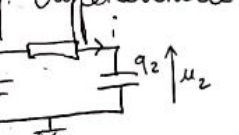
Finallement $U_f = \frac{q_{10}}{C_1 + C_2}$

c) W_f vaut alors : $W_f = \frac{1}{2} \frac{q_1^2}{C_1} + \frac{1}{2} \frac{q_2^2}{C_2} = \frac{1}{2} \frac{C_1 q_{10}^2}{(C_1 + C_2)^2} + \frac{1}{2} \frac{C_2 q_{10}^2}{(C_1 + C_2)^2} = \frac{1}{2} \frac{q_{10}^2}{C_1 + C_2}$

$$W_f - W_i = \frac{1}{2} \frac{q_{10}^2}{C_1 + C_2} - \frac{1}{2} \frac{q_{10}^2}{C_1} = \frac{q_{10}^2}{2} \left(\frac{1}{C_1 + C_2} - \frac{1}{C_1} \right) = -\frac{q_{10}^2}{2} \frac{C_2}{C_1(C_1 + C_2)}$$

d) ajout d'une résistance. U_f et W_f sont inchangeées

e) éq. différentielle vérifiée par $q_1(t)$



$$i = \frac{u_1 - u_2}{R} = -\frac{dq_1}{dt} = \frac{dq_2}{dt} \Rightarrow \frac{dq_1}{dt} + \frac{q_1}{RC_1} = \frac{q_{10} - q_1}{RC_2} \Leftrightarrow \left(\frac{dq_1}{dt} + \frac{q_1}{R} \left(\frac{1}{C_1} + \frac{1}{C_2} \right) \right) = \frac{q_{10}}{RC_2}$$

on pose $C = \frac{RC_1 C_2}{C_1 + C_2}$ $q_1(t) = \frac{C_1 q_{10}}{C_1 + C_2} + \lambda e^{-t/C}$

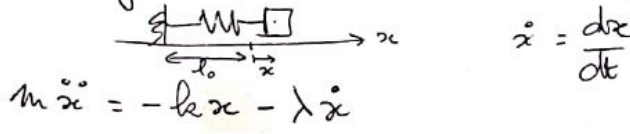
à $t=0$ $q_1 = q_{10} \rightarrow \frac{C_1 q_{10}}{C_1 + C_2} + \lambda = q_{10} \rightarrow \lambda = q_{10} \left(1 - \frac{C_1}{C_1 + C_2} \right) = \frac{C_2}{C_1 + C_2} q_{10}$

$q_1(t) = \frac{q_{10}}{C_1 + C_2} \left(C_1 + C_2 e^{-t/C} \right) \rightarrow i(t) = -\frac{dq_1}{dt} = +\frac{C_2 q_{10}}{C_1 + C_2} \cdot \frac{1}{C} e^{-t/C}$

$i(t) = -\frac{q_{10}}{RC_1} e^{-t/C}$ $Q = \int_0^{+\infty} R i^2 dt = \int_0^{+\infty} R \frac{q_{10}^2}{RC_1^2} e^{-2t/C} dt = \frac{q_{10}^2}{RC_1^2} \left[-\frac{C}{2} e^{-2t/C} \right]_0^{+\infty}$

$Q = \frac{q_{10}^2}{RC_1^2} \left(+\frac{C}{2} \right) = \frac{q_{10}^2}{RC_1^2} \frac{RC_1 C_2}{(C_1 + C_2)^2} = \frac{q_{10}^2 C_2}{2 C_1 (C_1 + C_2)} = W_i - W_f$. indépendante de R .

25. système masse ressort avec frottement



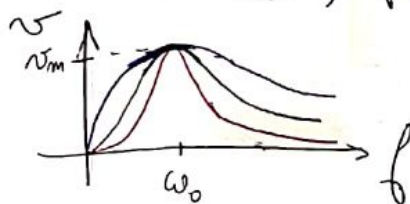
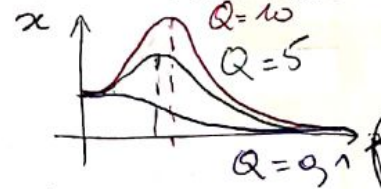
$$m\ddot{x} = -kx - \lambda\dot{x}$$

$$\Leftrightarrow \ddot{x} + \frac{\lambda}{m}\dot{x} + \frac{k}{m}x = 0$$

grandeurs analogues :

méca	x	v	m	k	λ
elec	q	i	L	$\frac{1}{C}$	R

26. Courbe de résonance en elongation

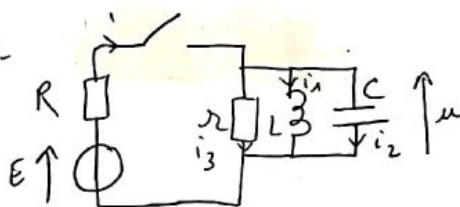


résonance en vitesse ΔQ à ω_0 .

résonance pour $Q > \frac{1}{\sqrt{2}}$, $\omega_r = \omega_0 \sqrt{1 - \frac{1}{2Q^2}} < \omega_0$

maximum d'autant + grand que Q est grand

27.



a) continuité de u (bornes du condensateur) et de i_3 (à travers la bobine)

$$\text{Donc à } t=0^+: u=0, i_1=0, i_3 = \frac{u}{r}=0, i_2 = i$$

$$i = \frac{E-u}{R} = \frac{E}{R} = i_2$$

b) régime établi $\frac{du}{dt} = \frac{d^2i_3}{dt^2}$ donc $u=0$ et $i_2=0$, $i_3 = \frac{u}{r}=0$, $i_1 = i$, $i = \frac{E-u}{R} = \frac{E}{R} = i_1$

c) Eq diff $i = \frac{E-u}{R} = i_1 + i_2 + i_3$ $i_2 = C \frac{du}{dt}$ $u = L \frac{di_1}{dt}$ $u = R i_3$

dans $\frac{du}{dt} \cdot \frac{1}{R} = \frac{di_1}{dt} + \frac{di_2}{dt} + \frac{di_3}{dt} \Leftrightarrow -\frac{1}{R} \frac{di_3}{dt} = \frac{ri_3}{L} + rC \frac{d^2i_3}{dt^2} + \frac{di_3}{dt}$

$$\Leftrightarrow \frac{d^2i_3}{dt^2} + \left(\frac{1}{rC} + \frac{1}{RC} \right) \frac{di_3}{dt} + \frac{1}{LC} i_3 = 0.$$

d) $\ddot{i}_3 + 2\lambda\omega_0 \dot{i}_3 + \omega_0^2 i_3 = 0$ $\omega_0 = \sqrt{\frac{1}{LC}}$ $2\lambda\omega_0 = \frac{2\lambda}{\sqrt{LC}} = \frac{R+r}{RrC}$

$$\lambda = \frac{1}{2} \frac{R+r}{Rr} \sqrt{\frac{L}{C}}$$

e) eq caractéristique $\rightarrow x^2 + 2\lambda\omega_0 x + \omega_0^2 = 0$ $\Delta = 4\lambda^2\omega_0^2 - 4\omega_0^2 = (2\omega_0)^2(\lambda^2 - 1)$

réponse pseudo périodique si $\Delta < 0$ soit $\lambda < 1 \Leftrightarrow \frac{R+r}{2Rr} \sqrt{\frac{L}{C}} < 1$

f) λ caractérise l'amortissement.

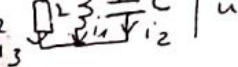
$$i_3(t) = e^{-\lambda\omega_0 t} (A \cos(\omega_0 \sqrt{1-\lambda^2} t) + B \sin(\omega_0 \sqrt{1-\lambda^2} t))$$

$$i_3(t=0) = 0 \rightarrow A = 0$$

$$\frac{di_3}{dt} = \frac{1}{r} \frac{du}{dt} = \frac{1}{r} \frac{i_2}{C} \stackrel{t=0}{=} \frac{1}{r} \frac{E}{C}$$

$$\frac{di_3}{dt} = (-\lambda\omega_0 B \sin(\omega_0 \sqrt{1-\lambda^2} t) + B \omega_0 \sqrt{1-\lambda^2} \cos(\omega_0 \sqrt{1-\lambda^2} t)) e^{-\lambda\omega_0 t}$$

$$B \omega_0 \sqrt{1-\lambda^2} = \frac{E}{rRC} \rightarrow B = \frac{E/rRC}{\omega_0 \sqrt{1-\lambda^2}}$$

h) ^{chgt origine des f} ouverture de l'interrupteur à $t=0$. 

$$u_e = 0, i_{1A} = \frac{E}{R} \text{ const}, i_3 = 0, i_2 = -\frac{E}{R}$$

en régime établi tous les grandeurs tendent vers 0.

éq diff $i_1 + i_2 + i_3 = 0 \rightarrow \frac{di_1}{dt} + \frac{di_2}{dt} + \frac{di_3}{dt} = 0 \Leftrightarrow \frac{ri_3}{L} + Cr\frac{di_3}{dt} + \frac{di_3}{dt} = 0$

$$\Leftrightarrow \frac{d^2i_3}{dt^2} + \frac{1}{RC} \frac{di_3}{dt} + \frac{1}{LC} i_3 = 0. \quad \omega_0 = \frac{1}{\sqrt{LC}} \quad 2\lambda\omega_0 = \frac{2\lambda'}{\sqrt{LC}} = \frac{1}{RC}$$

pseudo-périodique si $\frac{1}{2r} \sqrt{\frac{L}{C}} < 1$

$$i_3(t) = e^{-\lambda' \omega_0 t} (A' \cos(\omega_0 \sqrt{1-\lambda'^2} t) + B' \sin(\omega_0 \sqrt{1-\lambda'^2} t))$$

$$i_3(t=0^+) = 0 \rightarrow A' = 0. \quad \frac{di_3(t=0^+)}{dt} = \frac{1}{R} \frac{i_2(t=0^+)}{C} = -\frac{1}{R} \frac{E}{C} \rightarrow B'.$$

$$\lambda' = \frac{1}{2r} \sqrt{\frac{E}{C}}$$

28- $m \frac{d^2x}{dt^2} + \gamma m \frac{dx}{dt} + m\omega_0^2 x = 0 \quad \forall > 0$

$$a) \Delta = \gamma^2 - 4\omega_0^2$$

$\Delta > 0$ si $\gamma > 2\omega_0$ régime aperiodique $\rightarrow Q < \frac{1}{2}$

$\Delta = 0$ si $\gamma = 2\omega_0$ critique

$\Delta < 0$ si $\gamma < 2\omega_0$ pseudo-périodique

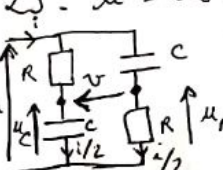
$$Q = \frac{1}{2}$$

$$Q > \frac{1}{2}$$

forme canonique $\frac{d^2x}{dt^2} + \frac{\alpha_0}{Q} \frac{dx}{dt} + \omega_0^2 x = 0 \quad \frac{\omega_0}{Q} = \gamma$

b) temps typique du transitoire : $\boxed{\frac{2Q}{\omega_0} = \frac{2}{\gamma} = T}$

29. $u = U_0 \cos(\omega t) \quad v = V_0 \cos(\omega t + \phi)$



$$a) \frac{u_c}{u} = \frac{\frac{1}{jC\omega} u}{R + \frac{1}{jC\omega}} = \frac{1}{1 + RjC\omega} u$$

$$\frac{u_c}{u} = \frac{RjC\omega}{1 + RjC\omega} u$$

$$\omega_c = \omega_C - \omega_R = \frac{1 - RjC\omega}{1 + RjC\omega} \cdot u \Rightarrow V_o = \frac{|1 - RjC\omega|}{|1 + RjC\omega|} U_0 = U_0.$$

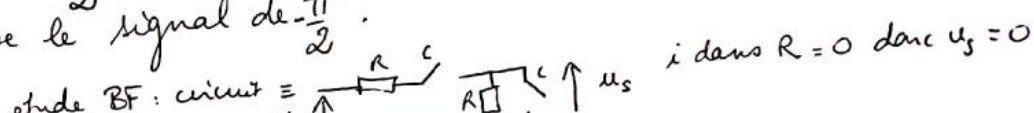
$$\phi = \arg(1 - RjC\omega) - \arg(1 + RjC\omega) = \arctan(-R\omega) - \arctan(R\omega)$$

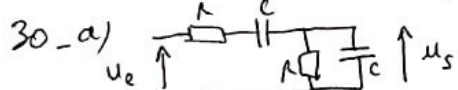
$$\phi = \arg(1 - RjC\omega) - \arg(1 + RjC\omega) = \arctan(-R\omega) - \arctan(R\omega). \quad \underline{\text{circuit déphaseur.}}$$

Dans $V_o = U_0$ et $\phi = -2\arctan(R\omega)$.

b) car $R\omega = 1$: $\phi = -2 \cdot \frac{\pi}{4} = -\frac{\pi}{2}$ $v = U_0 \cos(\omega t - \frac{\pi}{2}) = U_0 \sin(\omega t)$

le montage déphase le signal de $\frac{\pi}{2}$.



30-a) 

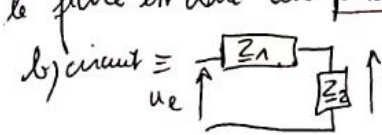
étude BF: circuit 

i dans $R = 0$ donc $u_s = 0$

étude HF: circuit 

$$u_s = 0$$

le filtre est donc un passe-bande.

b) circuit 

$$Z_1 = R + \frac{1}{jC\omega} \quad Z_2 = \frac{RjC\omega}{1 + RjC\omega} = \frac{R}{1 + RjC\omega}$$

$$H = \frac{u_s}{u_e} = \frac{Z_2}{Z_1 + Z_2} = \frac{R}{(R + \frac{1}{jC\omega})(1 + RjC\omega) + R}$$

$$H = \frac{R}{R + \frac{1}{jC\omega} + R^2jC\omega + R + R} = \frac{1}{3 + j(\frac{1}{jC\omega} - \frac{1}{R}))} = \frac{1/3}{1 + \frac{1}{3}(x - \frac{1}{x})} \quad x = RC\omega = \frac{\omega}{\omega_0}$$

$$Q = \frac{\omega_0}{RC} = \frac{1}{K} \quad K = \frac{1}{3}$$

K est le gain maximal obtenu pour $x=1$ c'est à dire $\omega = \omega_0 = \frac{1}{RC}$
 ω_0 est la pulsation caractéristique du filtre passe-bande
 Q est le facteur de qualité et caractérise la largeur de la bande passante

c) $K = 1/3$ gain max pour $\omega = \omega_0$ on a alors $H = K$ réel
 $G_{dB} = 20 \log |H|$ $G_{dB_{max}} = 20 \log K = -20 \log 3 = -9,5 \text{ dB}$.
 pour $\omega = \omega_0$, le déphasage est nul.

Bande passante. On cherche ω_1 et ω_2 tel que $|H(j\omega)| = \frac{K}{\sqrt{2}}$

$$|H| = \frac{K}{\sqrt{1 + Q^2(x - \frac{1}{x})^2}} = \frac{K}{\sqrt{2}} \Leftrightarrow Q^2 \left(x - \frac{1}{x} \right)^2 = 1.$$

$$x - \frac{1}{x} = \frac{1}{Q} \quad \text{ou} \quad x - \frac{1}{x} = -\frac{1}{Q}$$

$$x^2 - \frac{x}{Q} - 1 = 0 \quad x^2 + \frac{x}{Q} - 1 = 0.$$

$$\Delta = \frac{1}{Q^2} + 4 \geq \frac{1}{Q^2} > 0$$

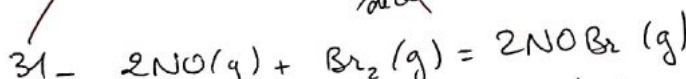
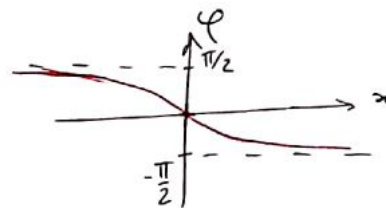
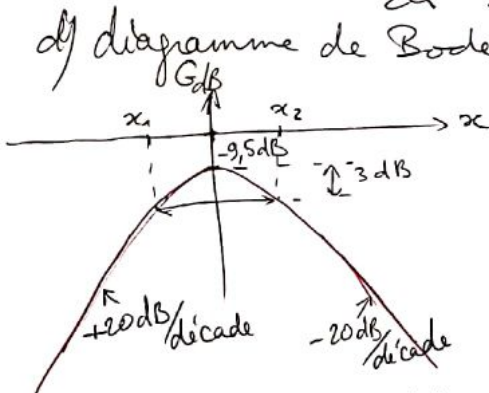
on ne garde que les racines > 0 : $\frac{1}{2Q} + \frac{1}{2Q} \sqrt{1 + 4Q^2} = x_2$ et $-\frac{1}{2Q} + \frac{1}{2Q} \sqrt{1 + 4Q^2} = x_1$

$$\Delta x = x_2 - x_1 = \frac{1}{2Q} + \frac{1}{2Q} = \frac{1}{Q}$$

$$\boxed{\Delta x = \frac{\Delta \omega}{\omega_0} = \frac{1}{Q}}$$

$$\boxed{\Delta \omega = \frac{\omega_0}{Q}}.$$

d) diagramme de Bode



a) quantité de NO introduite : $V = 2,0\text{L}$, $P_i = 6000 \text{ Pa}$, $T = 333 \text{ K}$ à mettre en m^3 .
 on assimile à un GP : $P_i V = m_{\text{NO}_i} RT \Rightarrow m_{\text{NO}_i} = \frac{P_i V}{RT} = 4,33 \cdot 10^{-3} \text{ mol}$.

quantité de Br_2 introduite : $m_{\text{Br}_2} = 300 \text{ mg}$ or $M(\text{Br}_2) = 159,81 \text{ g/mol}$ donc $m_{\text{Br}_2} = \frac{m_{\text{Br}_2}}{M(\text{Br}_2)} = 1,88 \cdot 10^{-3} \text{ mol}$.

b) à l'équilibre $P_2 = 8220 \text{ Pa}$ que des gaz assimilés à des GP.

$$P_2 V = m_{\text{tot eq}} RT \Rightarrow m_{\text{tot eq}} = \frac{P_2 V}{RT} = 5,93 \cdot 10^{-3} \text{ mol}.$$

$2\text{NO}(g) + \text{Br}_2(g) \rightleftharpoons 2\text{NOBr}(g)$			m_{tot}	$\xi = m_{\text{tot}_i} - m_{\text{tot eq}}$
initial	m_{NO_i}	m_{Br_2}	0	$m_{\text{NO}_i} + m_{\text{Br}_2} = m_{\text{tot}_i}$
équilibre	$m_{\text{NO}} - 2\xi$	$m_{\text{Br}_2} - \xi$	2ξ	$m_{\text{NO}_i} + m_{\text{Br}_2} - \xi = m_{\text{tot eq}}$

d) $P_{\text{NO eq}} = \frac{m_{\text{NO}_i} - 2\xi}{m_{\text{tot eq}}} P_2 = 5239 \text{ Pa}$.

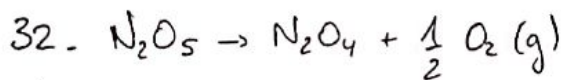
$$P_{\text{Br}_2 eq} = \frac{m_{\text{Br}_2} - \xi}{m_{\text{tot eq}}} P_2 = 2220 \text{ Pa}$$

$$P_{\text{NOBr eq}} = \frac{2\xi}{m_{\text{tot eq}}} P_2 = 761 \text{ Pa}$$

Rq: on a bien $\sum P_{\text{partie}} = P_2$.

e) constante d'équilibre

$$K = \frac{(P_{\text{NOBr eq}}/P_0)^2}{(P_{\text{NO eq}}/P_0)^2 (P_{\text{Br}_2 eq}/P_0)^2} = \frac{P_{\text{NOBr eq}}^2}{P_{\text{NO eq}}^2 P_{\text{Br}_2 eq}^2} = 0,95.$$



hyp: cinétique d'ordre 1 par rapport à N_2O_5

$$\text{vitesse de réaction } v = -\frac{d[N_2O_5]}{dt} \stackrel{\text{ordre 1}}{=} k [N_2O_5]^1 \Rightarrow \frac{d[N_2O_5]}{dt} + k [N_2O_5] = 0$$

$$[N_2O_5](t) = [N_2O_5]_0 e^{-kt} \Rightarrow \ln([N_2O_5](t)) = -kt + \ln[N_2O_5]_0$$

on trace $\ln([N_2O_5](t))$ en fonction du temps.

les points paraissent alignés, on modélise par une droite

$$\text{on obtient l'équation: } \ln[N_2O_5](t) = -0,0006277157 \cdot t + 0,8530727287$$

avec un coeff de corrélation $R^2 = 0,9998254204$

l'hypothèse de l'ordre 1 est donc valide, on trouve $k = 6,28 \cdot 10^{-4} \text{ s}^{-1}$.

33. carbone naturel $M = 12,01115 \text{ g/mol}$ $x\%$ de $^{12}_6C$ et $y\%$ de $^{13}_6C$

$$\text{or } M = \frac{x}{100} M(^{12}_6C) + \frac{y}{100} M(^{13}_6C) = \frac{x}{100} M(^{12}C) + \left(1 - \frac{x}{100}\right) M(^{13}C)$$

$$x = \frac{100 \cdot M - 100 M(^{13}C)}{M(^{12}C) - M(^{13}C)} = 98,892 \quad \text{et donc } y = 1,108$$

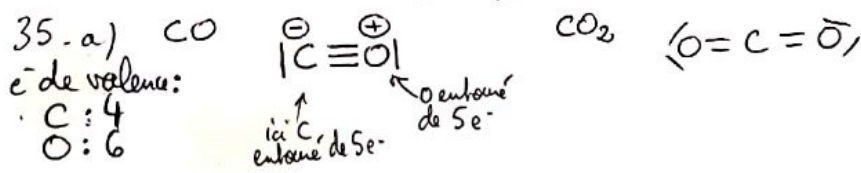
il y a 98,892 % de $^{12}_6C$ et 1,108 % de $^{13}_6C$.

34-a) des isotopes sont des éléments ayant le même numéro atomique Z mais un nombre de masse A différents. (Ils diffèrent par le nombre de neutrons)

b) carbone: $^{12}_6C$ et $^{13}_6C$
majeur 6 protons 7 neutrons
mineur 6 neutrons

c) mème méthode que l'exo précédent $M_0 = x M_{12} + (1-x) M_{13}$

$$x = \frac{M_{12} - M_0}{M_{12} - M_{13}} = 0,9980 \rightarrow 99,80\% \text{ de } ^{12}O \text{ et } 0,20\% \text{ de } ^{13}O.$$



$$36-\text{a)} \ c = 4,18 \text{ J.K}^{-1}. \text{g}^{-1}$$

$$\text{b)} \ M(H_2O) = 18 \text{ g/mol.} \quad c_m = Mc = 75,24 \text{ J.K}^{-1}. \text{mol}^{-1}$$

$$\text{c)} \ \text{air GP.} \quad M = \frac{5}{2} nRT \quad C_V' = \frac{dU}{dT}_{V=\text{cte}} = \frac{5}{2} nR \quad C_{V,m}' = \frac{5}{2} R = 20,8 \text{ J.K}^{-1}. \text{mol}^{-1}$$

$$\text{d)} \ C_V' = \frac{C_{V,m}'}{M} = 0,717 \text{ J.K}^{-1}. \text{g}^{-1} \text{ bien plus faible que l'eau.}$$

f) variation d'énergie interne d'1g d'eau pour $\Delta T = 1^\circ\text{C}$: $\Delta U = mc \Delta T = 4,18 \text{ J.}$

g) pour 1g d'air: $\Delta U = 0,717 \text{ J.}$

37-a) le glacon fond. l'état final est entièrement liquide (en supposant un TA positif)
le glacon échange de l'énergie sous forme thermique avec l'extérieure, il reçoit
de la chaleur. c) transformation isobare. pour 1g soit $W = 10^{-7} \text{ J}$ et $W = 10^{-2} \text{ J}$.

b) glace < eau liquide le volume du système a diminué.
le travail reçu par le système est $W = - \int_{\text{ini}}^{\text{fin}} P_{\text{ext}} dV > 0$ très négligeable devant le transfert thermique.

38. Premier principe pour un système fermé :

Il existe une fonction d'état des variables thermodynamiques appelée énergie interne. Il est extensive donc la variation au cours d'une transformation pour un système fermé est : $\Delta(E_c + E_p + U) = W + Q$ où W est le travail et Q le transfert thermique échangé avec l'extérieur. E_c (resp. E_p) est l'énergie cinétique (resp. potentielle) macroscopique.

39. a) l'énergie interne d'un gaz parfait ne dépend que de la température

b) transformation monobare $P_{\text{ext}} = \text{cte}$ entre 2 états d'équilibre $P_i = P_{\text{ext}}$ et $P_f = P_{\text{ext}}$

$$W = - \int P_{\text{ext}} dV = -P_{\text{ext}}(V_f - V_i)$$

$$\Delta U = W + Q$$

$$H = U + PV$$

$$\Delta H = \Delta U + \Delta(PV) = \Delta U + P_{\text{ext}}(V_f - V_i)$$

$$\text{donc } \Delta H = W + Q + P_{\text{ext}}(V_f - V_i) = Q \quad \text{Vrai.}$$

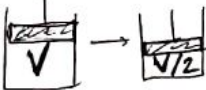
c) la température d'un corps pur augmente quand on lui fournit un transfert thermique en l'absence de changement d'état.

En cas de chgt d'état, la température est constante.

d) faux contre exemple : système siège d'une réaction chimique, dans un calorimètre en phase aqueuse ($dV=0$, $W=0$, $Q \neq 0$)

e) système transfo $Q=0$, $W < 0$

1^{er} principe $\Delta U = Q + W < 0$
Sa température varie

f)  *cas isotherme :
Etat initial... P_0, V_0, T_0 Etat final $2P_0, \frac{V_0}{2}, T_0$
 $W_f = - \int P dV = -nRT_0 \int_{V_0}^{\frac{V_0}{2}} \frac{dV}{V} = +nRT_0 \underbrace{\ln 2}_{0,69} = -Q_f$
si GP $\rightarrow \Delta U = 0$ ΔU est donc \neq de W . (ii) faux

*cas adiabatique $Q_A = 0$
 $W_A = - \int P_{\text{ext}} dV > 0$ car $dV < 0$ $\Delta U = W > 0$ donc $T_f > T_0$ Etat final $P_f, \frac{V_0}{2}, T_f > T_0$
d'où $P_f > 2P_0$

cas reversible d'un GP $PV^\gamma = \text{cte} = P_0 V_0^\gamma$
à l'aide de Laplace

$$W_A = - \int \frac{P_0 V_0^\gamma}{V^\gamma} dV = -P_0 V_0^\gamma \left[\frac{V^{1-\gamma}}{1-\gamma} \right]_{V_0}^{\frac{V_0}{2}} = -P_0 V_0^\gamma \left(\frac{\frac{V_0}{2}^{1-\gamma}}{2^{1-\gamma}} - V_0^{1-\gamma} \right) = \frac{P_0 V_0}{\gamma-1} \left(\frac{1}{2^{1-\gamma}} - 1 \right)$$

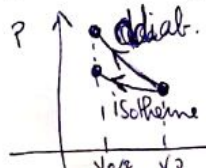
$$W_A = mRT_0 \left(\frac{2^{1-\gamma}-1}{\gamma-1} \right) > W_f \quad \approx 0,80$$

le travail à fourni est + grand si la compression est adiabatique

$$W_f = - \int P dV = \frac{2P_0 V_0}{2} = P_0 V_0 \quad \text{idem.}$$

$$W_A = - \int P dV = +P_f \frac{V_0}{2} > P_0 V_0$$

g) Pour une transf. brusque $P_{\text{ext}} = \text{cte} = 2P_0$ cas isotherme
 $P_f > 2P_0$ cas adia.



raisonnement graphique

les adiabatiques sont + inclinées que les isothermes

lors d'une diminution de volume on voit que l'aire sous la courbe est + grande pour le cas adiabatique $\rightarrow W$ plus grand.

40- transf. polytropiques $pV^k = \text{cte}$

a) GP, quasi statique: $P_{\text{ext}} = p \cdot (p_0, V_0, T_0) \rightarrow (p_1, V_1, T_1)$

$$W = - \int_{V_0}^{V_1} p dV = - p_0 V_0^k \int_{V_0}^{V_1} \frac{dV}{V^k} = - p_0 V_0^k \left[\frac{V^{1-k}}{1-k} \right]_{V_0}^{V_1} \quad \begin{array}{l} \text{sauf si } k=1 \\ \text{si } k=1 \end{array}$$

$$W = + p_0 V_0^k \frac{V_0^{1-k}}{1-k} - p_1 V_1^k \frac{V_1^{1-k}}{1-k} = \frac{p_0 V_0 - p_1 V_1}{1-k}$$

$$W = - p_0 V_0 \ln \left(\frac{V_1}{V_0} \right)$$

b) GP $\gamma = \frac{C_p}{C_v} \quad \Delta U = W + Q = C_v \Delta T = C_v (T_1 - T_0)$

$$Q = \Delta U - W = C_v (T_1 - T_0) - \left(\frac{m R T_0}{1-k} - \frac{m R T_1}{1-k} \right) = C_v (T_1 - T_0) + \frac{m R}{1-k} (T_1 - T_0)$$

$$Q = \left(C_v + \frac{m R}{1-k} \right) (T_1 - T_0) \quad \rightarrow \quad C = C_v + \frac{m R}{1-k}$$

c) C est en $J \cdot K^{-1}$. or $C_v = \frac{m R}{\gamma-1}$ donc $C = m R \left(\frac{1}{\gamma-1} + \frac{1}{1-k} \right)$

d) i) $k = \gamma$ transf. adiabatique

$$\text{car } C = m R \left(\frac{1}{\gamma-1} + \frac{1}{1-\gamma} \right) = 0 \text{ donc } Q = 0.$$

ii) $k = 0$ transf. isobare $C = C_v + m R = C_p \quad Q = C_p (T_1 - T_0) = \Delta H$

iii) $\frac{1}{k} = 0 \Rightarrow C = C_v + \frac{1}{k} \frac{m R}{\left(\frac{1}{k} - 1 \right)} = C_v \quad Q = C_v \Delta T = \Delta U \quad W = 0.$
transf. isochore.

iv) $k = 1$ isotherme $pV = m R T = \text{cte.} \quad \Delta U = 0 \quad W = - p_0 V_0 \ln \frac{V_1}{V_0} = -Q.$

41- calo 41g eau eq = P

 100g eau = m_e + 200g C_u à $60^\circ C = T_c \rightarrow T_f = 30^\circ C$

$P = \text{cte}$ + adiabatique $\Delta H = 0.$

$$\Delta H = (m_e + \mu) c_e (T_f - T_0) + m_u c_u (T_f - T_c) = 0.$$

$$c_{cu} = \frac{-(m_e + \mu) c_e (T_f - T_0)}{m_{cu} (T_f - T_c)} = \frac{0,141 \cdot 4,18 \cdot 10}{0,200 \cdot 30} = 0,982 \text{ J.g}^{-1} \cdot \text{K}^{-1}$$

(les valeurs doivent être fausses car $c_{cu} = 0,385 \text{ J.g}^{-1} \cdot \text{K}^{-1}$)

42- Hélium monoatomique a) $\gamma = \frac{C_p}{C_v} = \frac{\frac{5}{2}}{\frac{3}{2}} = \frac{5}{3} \approx 1,7$

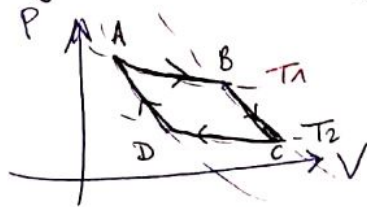
b) loi de Laplace $PV^\gamma = \text{cte} \Leftrightarrow P \frac{T^\gamma}{P^\gamma} = \text{cte} \Leftrightarrow P^{1-\gamma} T^\gamma = \text{cte}$

c) $P^{1-\gamma} T^\gamma = \text{cte}$ $\frac{T_f^\gamma}{P_f^{\gamma-1}} = \frac{T_i^\gamma}{P_i^{\gamma-1}}$ différence $P_f < P_i$ alors $T_f < T_i.$

(si $1-\gamma > 0$ alors $T_f > T_i$ mais γ est toujours > 1)

$$T_f = \left(\frac{P_0^{1-\gamma} T_0^\gamma}{P_f^{1-\gamma}} \right)^{\frac{1}{\gamma}} \cdot 249 \text{ K}$$

43- Cycle de Carnot



moteur $\Rightarrow W < 0$

cycle composé de 2 isothermes et 2 adiabatiques (+ inclinées)
1^{er} et 2nd principe appliqués à la machine ($\Delta U = 0, \Delta S = 0$)
à l'extérieur

$$\begin{cases} W + Q_1 + Q_2 = 0 \\ \frac{Q_1}{T_1} + \frac{Q_2}{T_2} = 0 \end{cases}$$

$$\begin{aligned} W &< 0 \\ T_1 &> T_2 \\ Q_1 &> 0, Q_2 < 0 \end{aligned}$$

↑ contante

$$\text{rendement } \eta = \frac{-W}{Q_1} = \frac{Q_1 + Q_2}{Q_1} = 1 + \frac{Q_2}{Q_1} = 1 - \frac{T_2}{T_1}$$

44- Pompe à chaleur diatherme : récepteur thermique : elle reçoit du travail ($W > 0$)
elle préleve de la chaleur à la source froide (l'extérieur) et cède de la chaleur à
la source chaude = la pièce à chauffer. $Q_2 > 0$
 $Q_1 < 0$

$$\text{efficacité } e = \frac{-Q_1}{W}$$

$$\text{efficacité max de Carnot : } e_{\max} = \frac{+Q_1}{+Q_1 + Q_2} = \frac{1}{1 + \frac{Q_2}{Q_1}} = \frac{1}{1 - \frac{T_2}{T_1}} = \frac{T_1}{T_1 - T_2}.$$

$$45-\text{Machine frigorifique reversible} \rightarrow \text{efficacité maximale } e = \frac{Q_2}{W} = \frac{Q_2}{Q_1 - Q_2} = \frac{1}{\frac{Q_1}{Q_2} - 1} = \frac{1}{\frac{T_1}{T_2} - 1}$$

$$e = \frac{T_2}{T_1 - T_2} = \frac{273}{20} = 13,68$$

$$P = 100 \text{ W}. \text{ Pendant } 5 \text{ min, } W = P \Delta t = 30 \text{ kJ}$$

$$Q_f = e \cdot W = 409,5 \text{ kJ}.$$

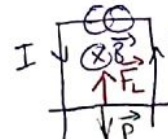
$$Q_f = mg L_{\text{fus}} \Leftrightarrow mg = \frac{Q_f}{L_{\text{fus}}} = 1,23 \text{ kg}.$$

46- les lignes de champs entourent les sources
champ + intense là où les lignes sont les + serrées

orientations du champ

47- Le conducteur subit la force de Laplace $i \vec{d} \vec{B} \times \vec{B}$

pour maintenir la tige en équilibre, il faut que cette force soit dirigée vers le haut
pour s'opposer au poids. le sens de circulation est important puisqu'il
donne le sens de la force.



$$I \vec{d} \vec{B} \times \vec{B} \Rightarrow \vec{F}_L \text{ il faut } I > 0. \quad \|F_L\| = I d B \vec{e}_z$$

$$\text{équilibre : } mg = I d B \Rightarrow I = \frac{mg}{d B} = \frac{2 \cdot 10^{-2} \cdot 10}{0,04 \cdot 0,25} = \frac{2 \cdot 10^{-2} \cdot 40}{0,04} = 2 \cdot 10^{-2+1+2} = 20 \text{ A}$$

énorme!

la force de Laplace est indépendante de l'altitude de la tige
donc si $I < I_{\text{eq}}$ la tige tombe, si $I > I_{\text{eq}}$ la tige monte.

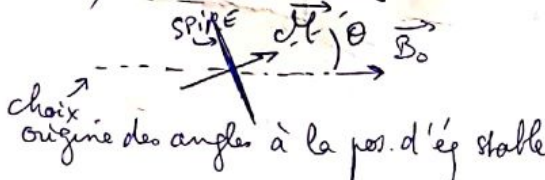
avec un peu de frottement sur les rails, on peut avoir une plage de valeurs acceptable pour I
donc réalisable en pratique.

48 -



- a) moment magnétique de la spire $\vec{M} = I \vec{S} = I \pi R^2 \vec{n}$
 b) 2 positions d'équilibre \vec{n} de même direction que \vec{B}_0
 même sens : position d'éq stable
 sens opposé : position d'éq instable.

c) Vue de dessus :



syst {spire}

Réf terrestre galiléen, repère cylindrique d'axe Z
bilan des actions mécanique :

- poids
 - action du fil sur la spire
 - action du ch. magnétique de moment
- $$\vec{M} = \vec{J} \times \vec{B}$$

choix origine des angles à la pos. d'éq stable

Phénomène du moment cinétique scalaire :

$$\text{CI } \theta(t=0)=\theta_0; \dot{\theta}(t=0)=0.$$

$$\Rightarrow \theta = \theta_0 \cos(\omega_0 t)$$

$$\text{peut angles} \quad \omega_0 = \sqrt{\frac{ISB}{J}}$$

$$\ddot{\theta} = (\vec{M}, \vec{B}) \cdot \vec{e}_x = -ISB \sin\theta = -ISB\theta \rightarrow \ddot{\theta} + \frac{ISB}{J}\theta = 0.$$

d) En mesurant la période et en connaissant I, S et J on en déduit B.

$$\frac{2\pi}{\omega_0} = 2\pi \sqrt{\frac{J}{ISB}} = T_0 \Leftrightarrow B = \frac{4\pi^2}{T_0^2} \frac{J}{IS}$$

49 -
 a) flux de B à travers la spire : $\phi = B \cdot S \cdot \cos\theta = B \cdot S \cdot \cos(\omega t)$
 orientation spire $\frac{d\phi}{dt} = -BS \omega \sin(\omega t)$

loi de Faraday $e = -\frac{d\phi}{dt} = BS \omega \sin(\omega t)$

b) courant induit $i = \frac{e}{R} = B \frac{S \omega \sin(\omega t)}{R}$ $\vec{M} = i S \vec{n} = \frac{BS^2 \omega \sin(\omega t)}{R} \vec{n}$

c) Couple de Laplace instantané $\vec{C}_l = \vec{M} \times \vec{B} = -\frac{BS^2 \omega \sin^2(\omega t)}{R} \vec{e}_z$

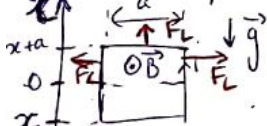
couple moyen : $\langle \vec{C}_l \rangle = -\frac{BS^2 \omega}{2R} \vec{e}_z$ LO cas lors de modération.

50. Energie stockée dans une bobine d'inductance L.

$$\overleftarrow{u_L} \quad u_L = L \frac{di}{dt} \quad \text{puissance reçue par la bobine } P_i = u_L \cdot i = L \frac{di}{dt} \cdot i = \frac{d}{dt} \left(\frac{1}{2} L i^2 \right)$$

d'où $U_m = \frac{1}{2} L i^2$.

51. cadre qui chute

a) cadre entièrement dans la région où $\vec{B} = \vec{0}$

flux à travers la spire nul

pas de fém induite

$$EE: Ri + L \frac{di}{dt} = 0$$

pas de force de Laplace car $\vec{B} = \vec{0}$

$$m \frac{dv}{dt} = mg$$

énergie emmagasinée

b) à cheval $0 < x < a$ $v = \dot{x} < 0$

$$\phi = Ba \cdot (x+a) \quad \frac{d\phi}{dt} = Ba \cdot v \quad e = -\frac{d\phi}{dt} = -Ba \cdot v$$

$$EE: e = Ri + L \frac{di}{dt} = -Ba \cdot v$$

Force de Laplace résultante : $i a B \vec{e}_x$

$$\Rightarrow i \vec{e}_x = \frac{m}{ab} \left(\frac{dv}{dt} - g \right)$$

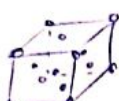
on injecte dans EE:

$$\frac{mR}{aB} \left(\frac{d\vec{v}}{dt} - \vec{g} \right) + \frac{mL}{aB} \frac{d^2\vec{v}}{dt^2} = -Ba\vec{v}$$

$$\Leftrightarrow \boxed{\frac{d^2\vec{v}}{dt^2} + \frac{R}{L} \frac{d\vec{v}}{dt} + \frac{B^2a^2}{mL} \vec{v} = \frac{R}{L} \vec{g}}$$

c) cadre entièrement dans la zone où $\vec{B} \neq \vec{0}$
flux à travers la spire constant $\rightarrow e=0$. EE: $Ri + L \frac{di}{dt} = 0$
force de Laplace se compense 2 à 2. EH: $\boxed{m \frac{d\vec{v}}{dt} = m\vec{g}}$.

52 - Fer γ ~ CFC



$$\rho = 7900 \text{ kg/m}^3$$

$$M_{Fe} = 55,9 \text{ g/mol}$$

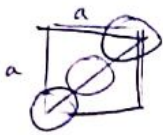
a: paramètre de maille.

$$\text{population } N = 8 \times \frac{1}{8} + 6 \times \frac{1}{2} = 4$$

$$\rho = \frac{M_{Fe} \cdot N}{cV_A \cdot a^3} \Leftrightarrow a^3 = \frac{M_{Fe} \cdot N}{cV_A \cdot \rho} = 4,700 \cdot 10^{-29} \text{ m}^3$$

$$\Leftrightarrow a = 3,609 \cdot 10^{-10} \text{ m} = \underline{\underline{361 \text{ pm}}}$$

structure compacte: contacte sur diagonale d'un côté



$$a\sqrt{2} = 4r_{Fe} \rightarrow r_{Fe} = \frac{a\sqrt{2}}{4} = \underline{\underline{128 \text{ pm}}}.$$